

FIG. 1

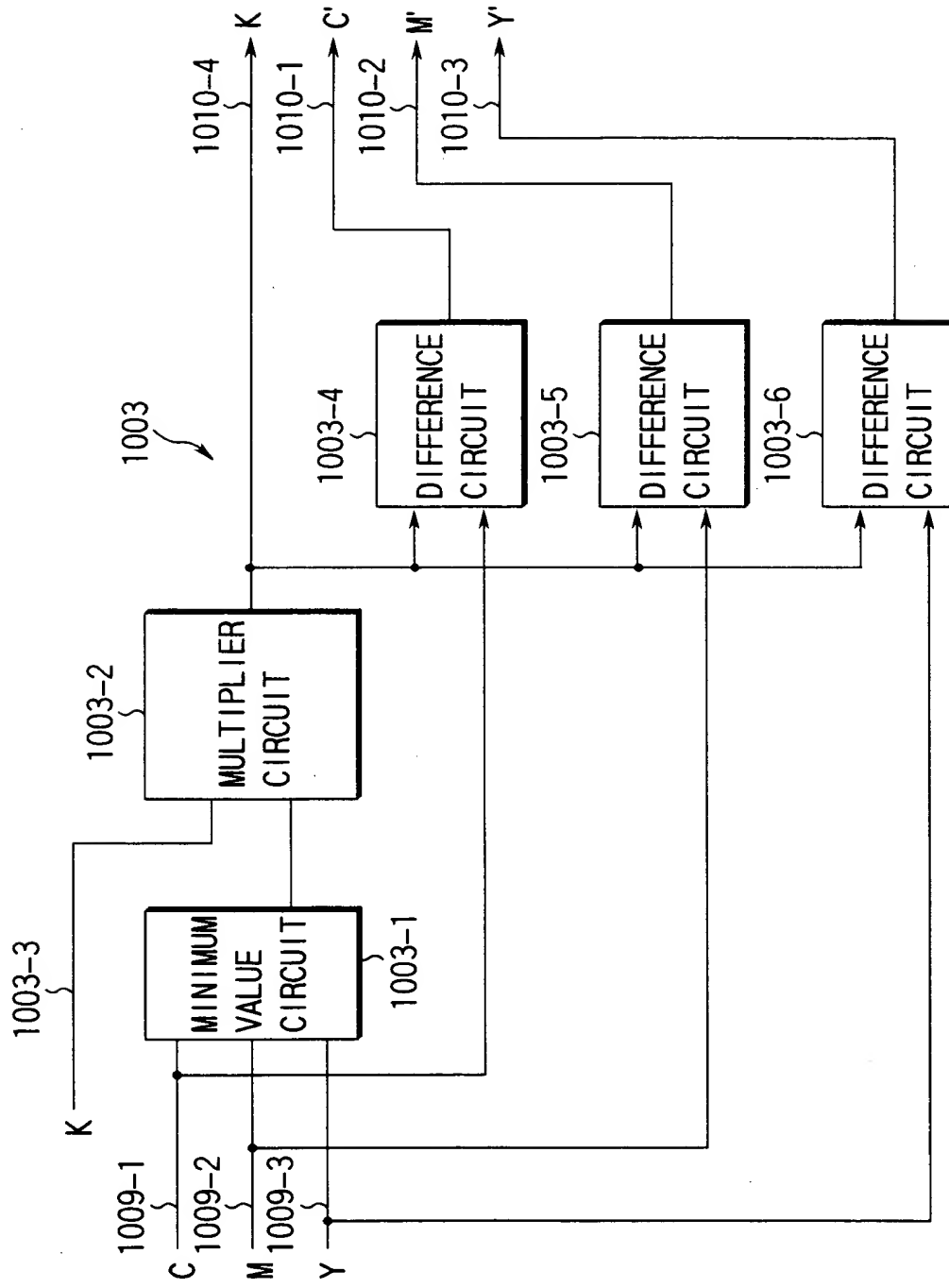


FIG. 2

(a) CMY BEFORE
BLANKING

C	M	Y
100	95	90
95	100	95
95	95	95
95	100	90
100	95	85
95	100	80
90	95	90

(b) C'M'Y'K AFTER
BLANKING

C'	M'	Y'	K
10	5	0	90
0	5	0	95
0	0	0	95
5	10	0	90
15	10	0	85
15	20	0	80
0	5	0	90

FIG. 3

© 1992 JAGGARD - GREGG CO.

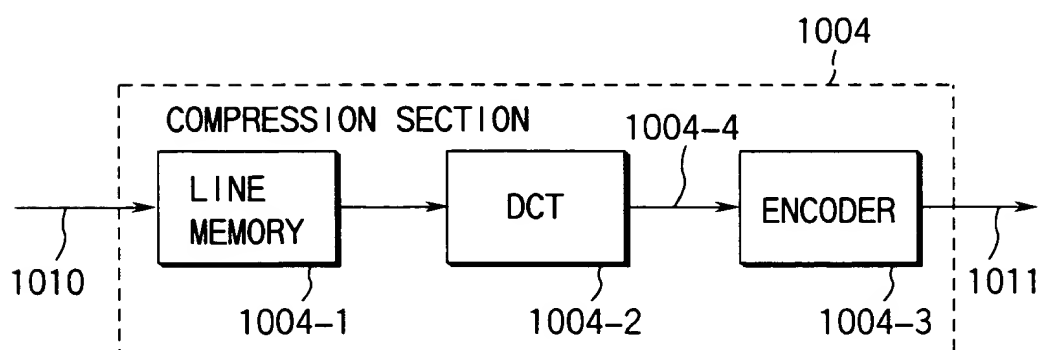
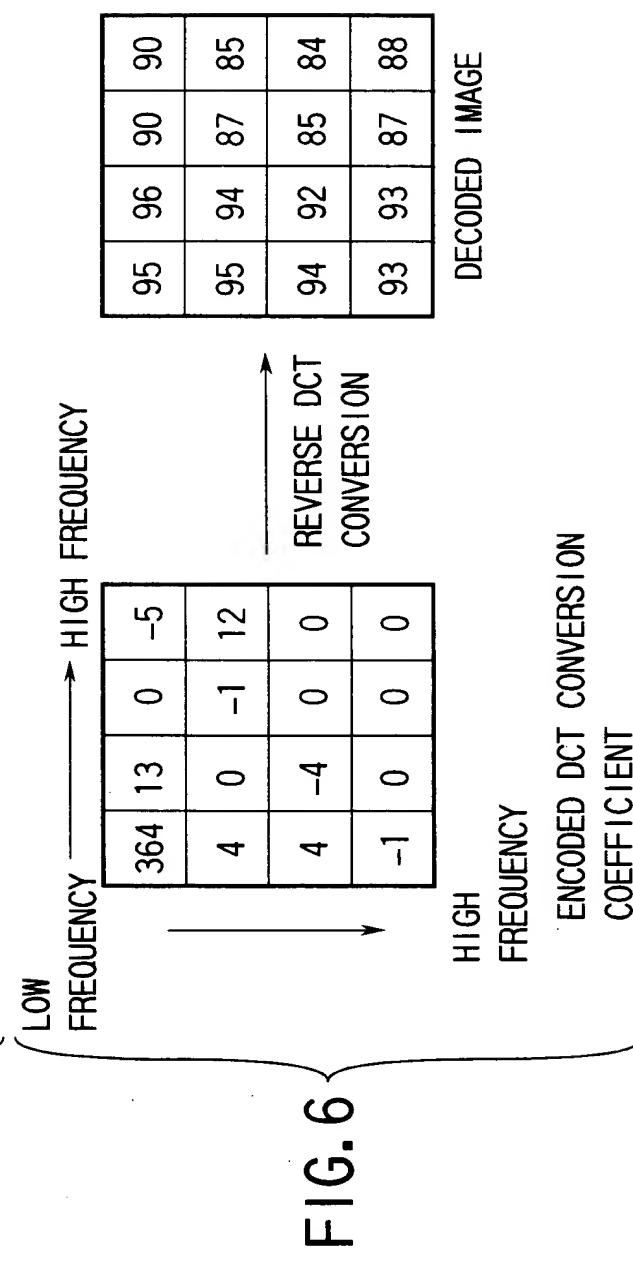
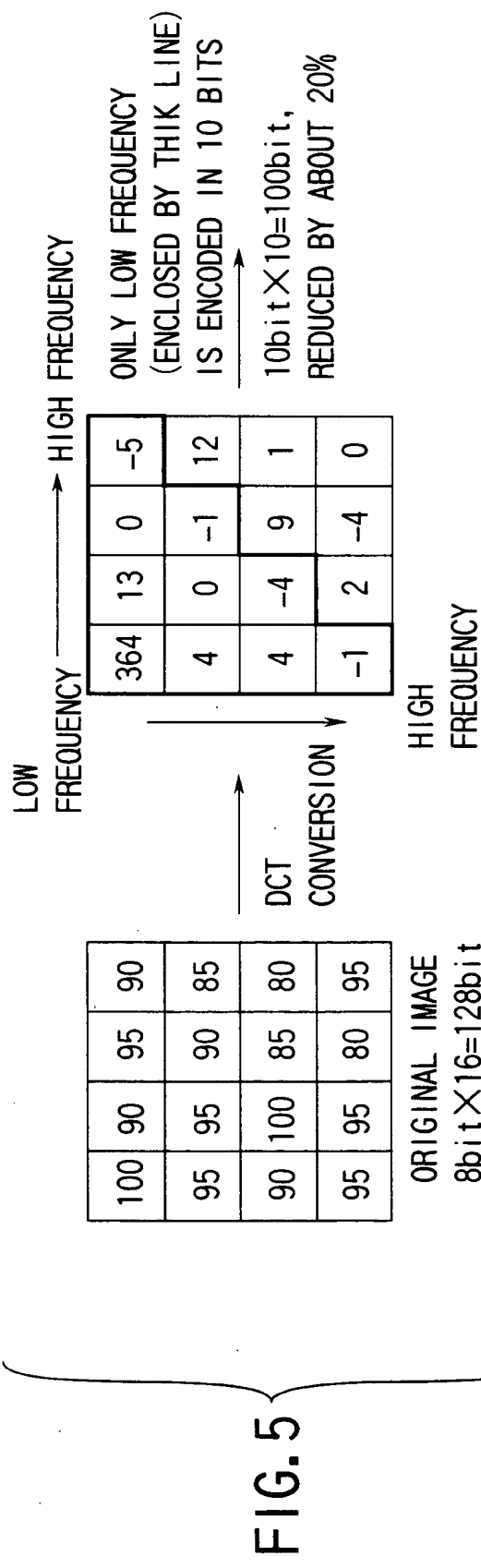


FIG. 4



DCT COEFFICIENT

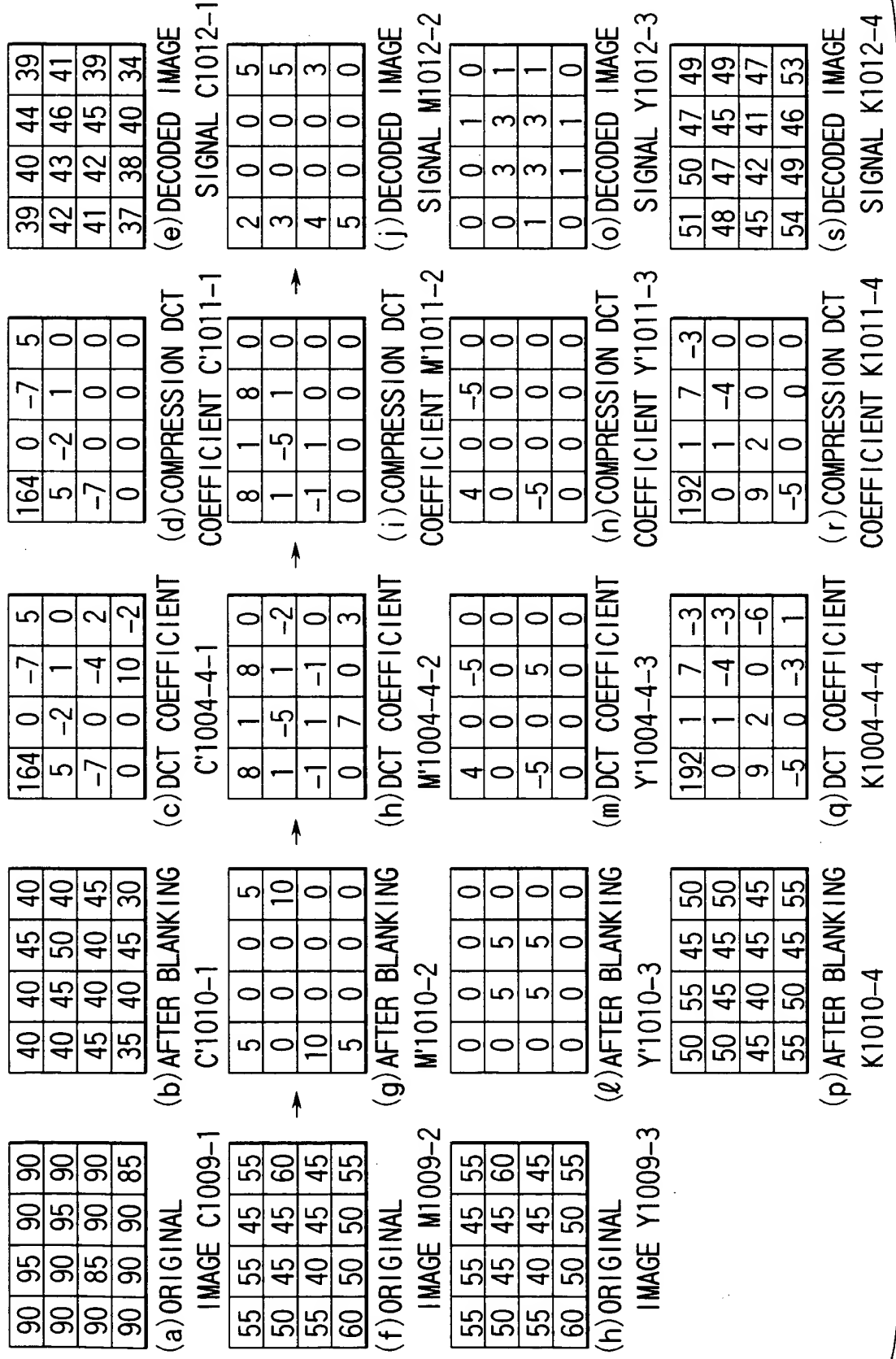


FIG. 7

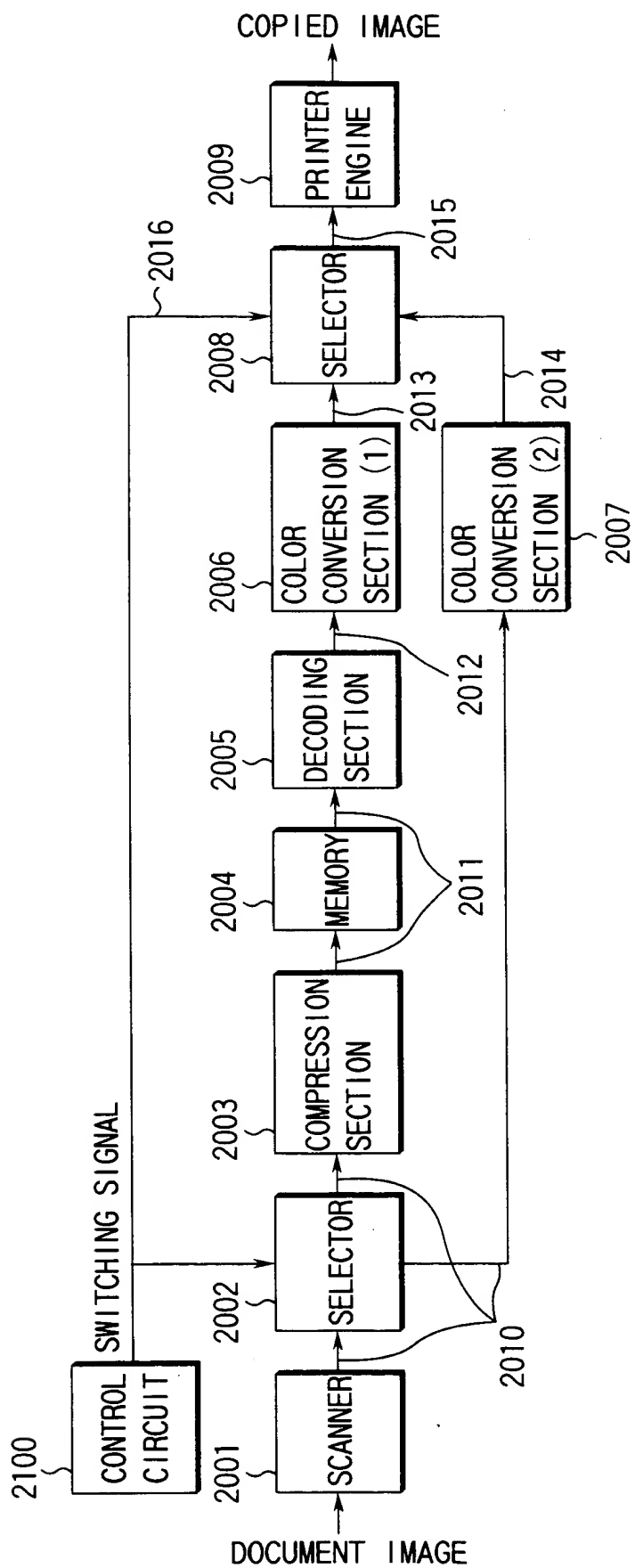
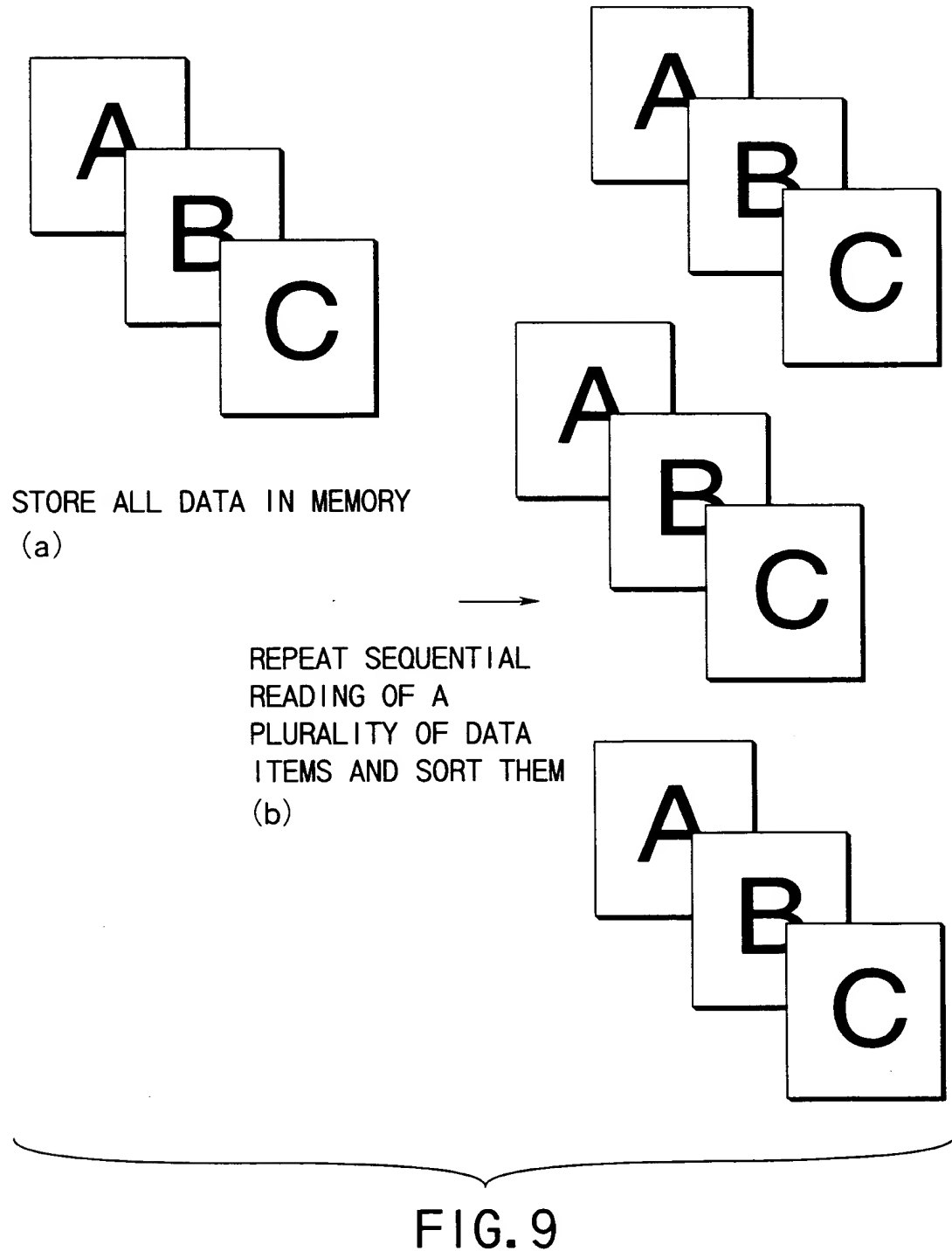


FIG. 8



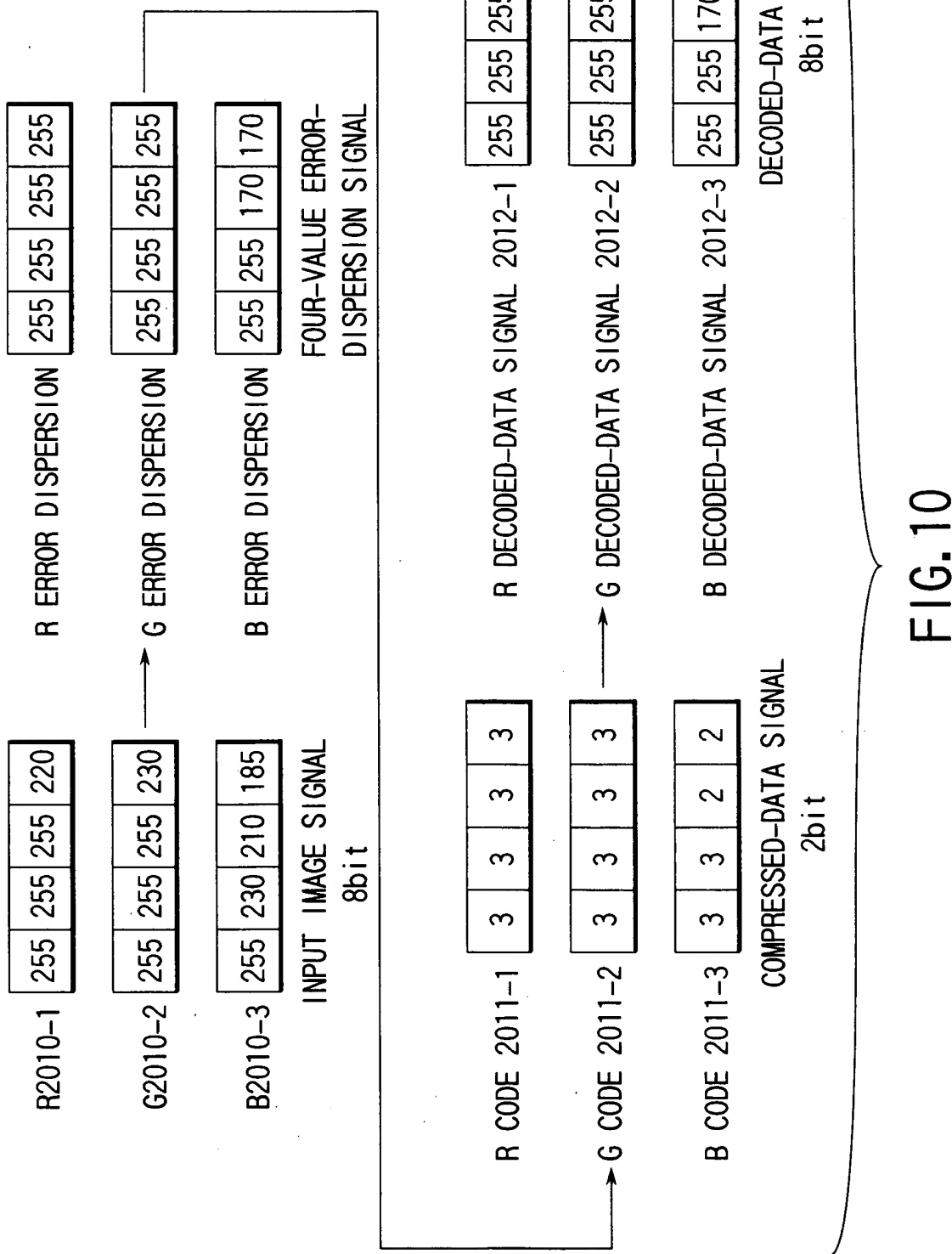
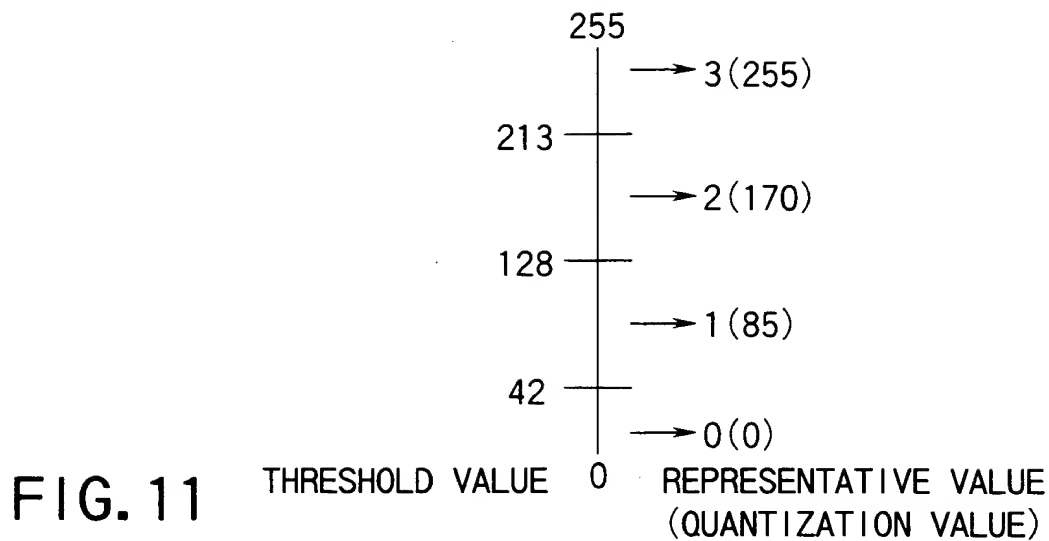
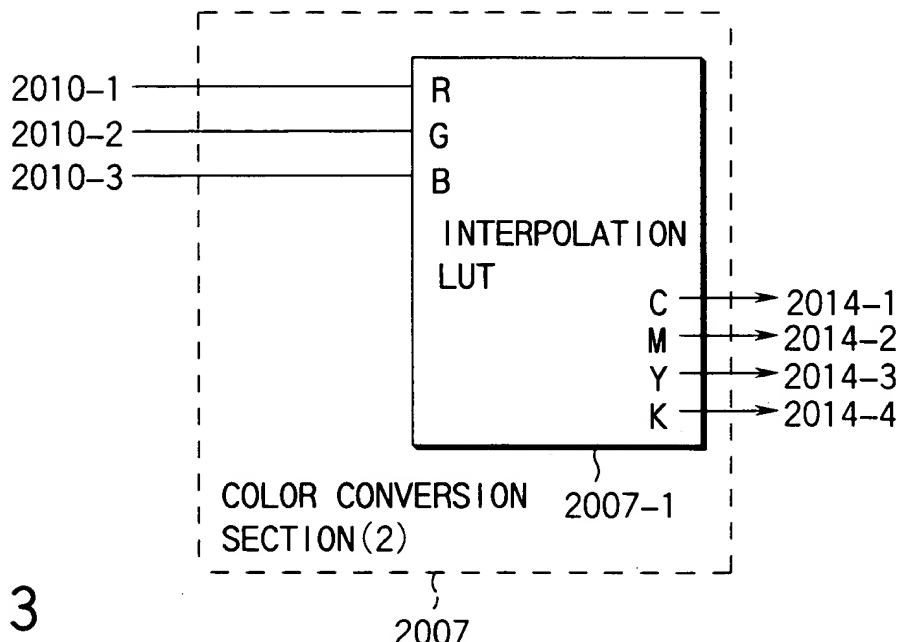


FIG. 10



R	G	B	C	M	Y	K
255	255	255	0	0	0	0
255	255	240	0	0	5	0
255	255	225	0	0	10	0
255	255	210	0	0	15	0
255	255	195	0	0	25	0
255	255	180	0	0	40	0
255	255	165	0	0	70	0

FIG. 12 RGB → CMYK CONVERSION LUT



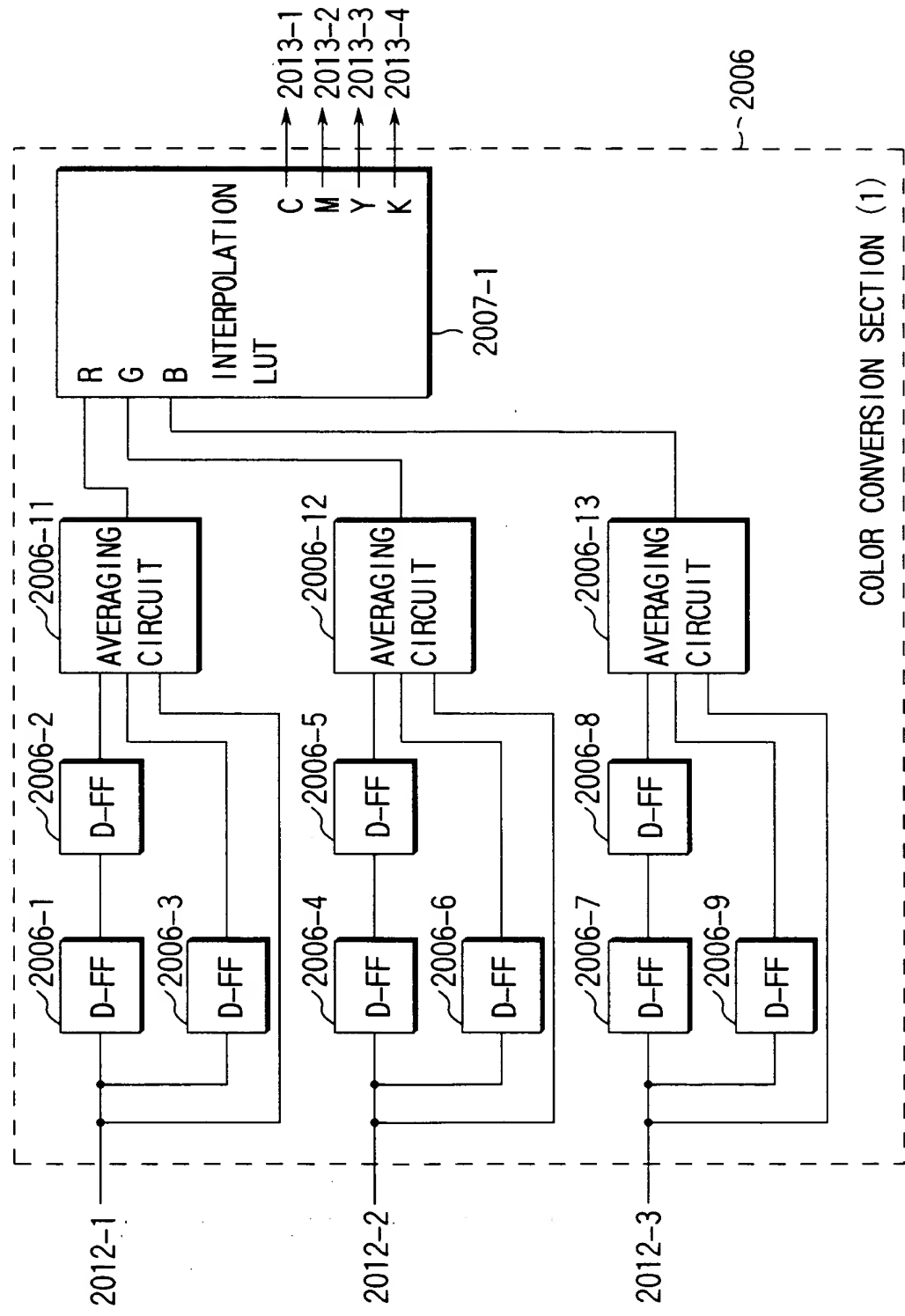


FIG. 14

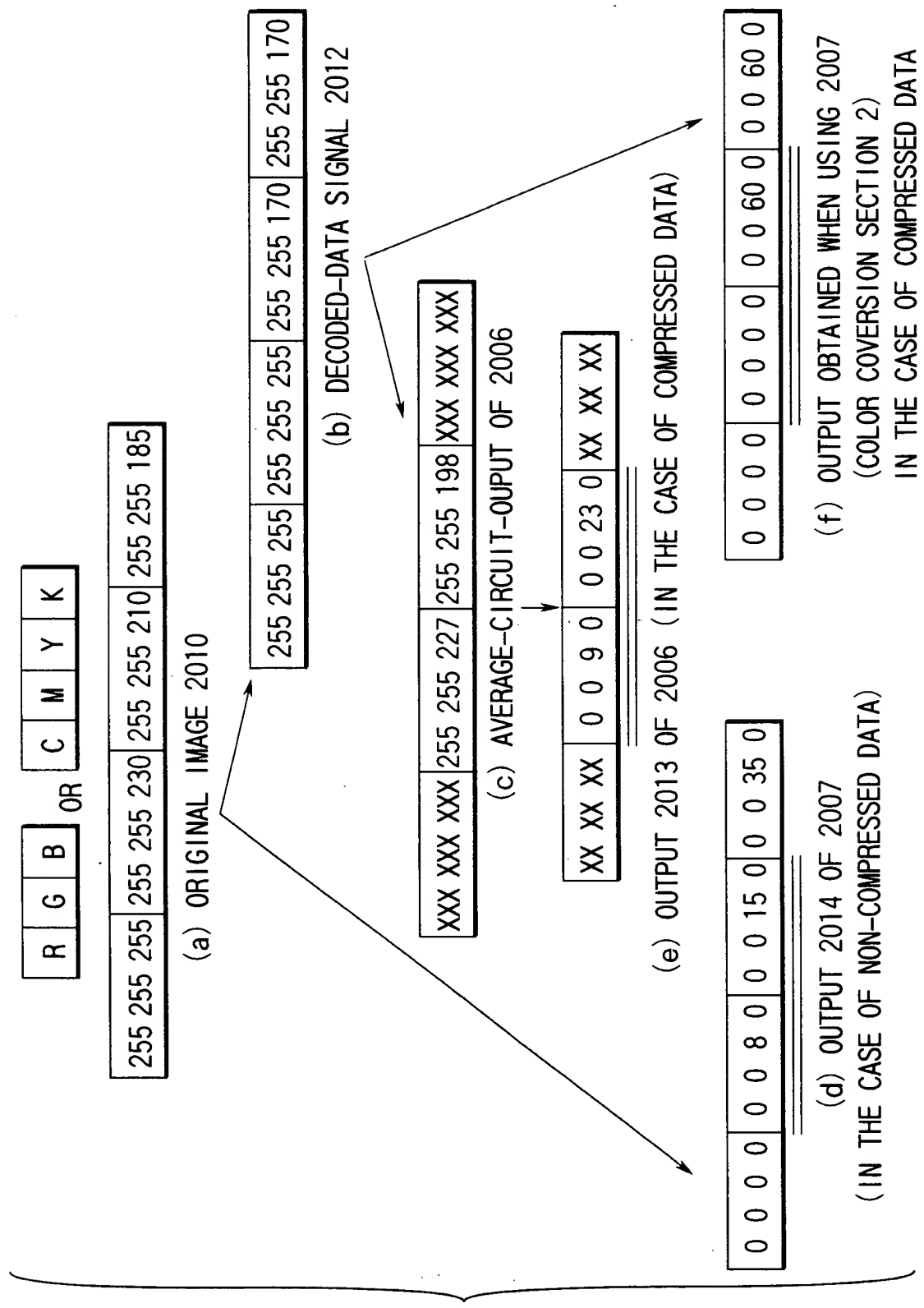


FIG. 15

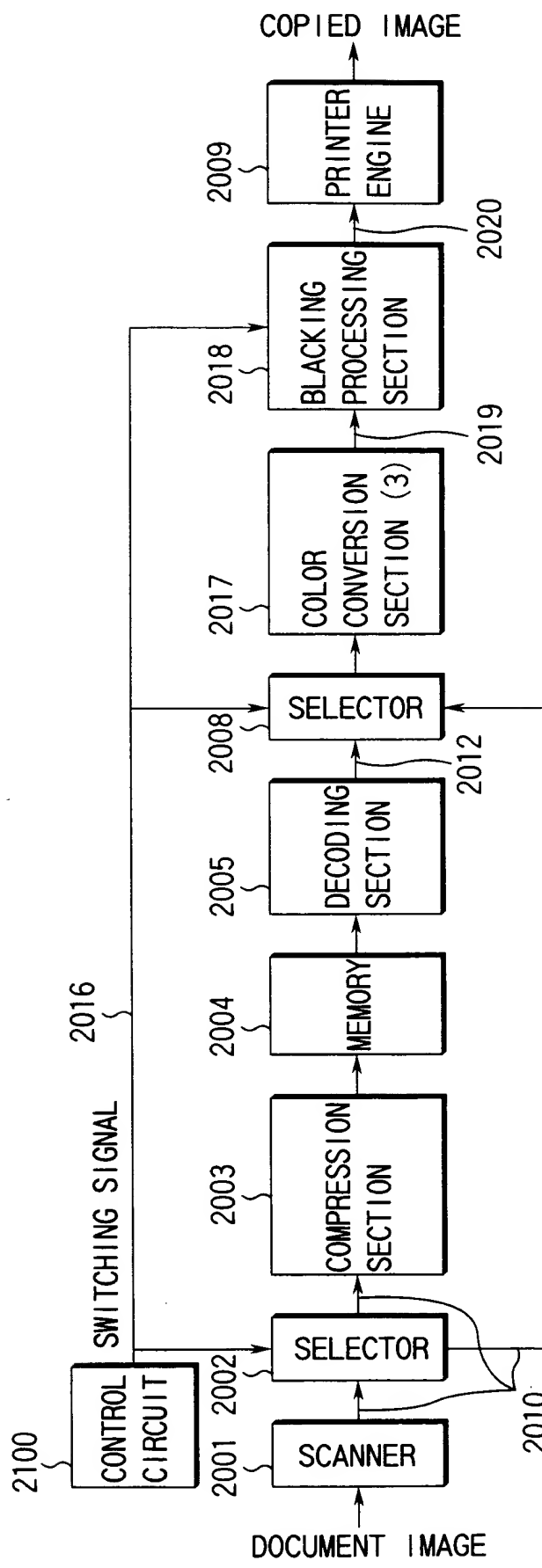


FIG. 16

	R	G	B	C	M	Y
0	0	0	0	255	255	255
0	0	0	15	255	255	230
0	0	0	30	255	255	210
0	0	0	45	255	255	190
0	0	0	60	255	255	170
0	0	0	75	255	255	150
0	0	0	90	255	255	130

FIG. 17

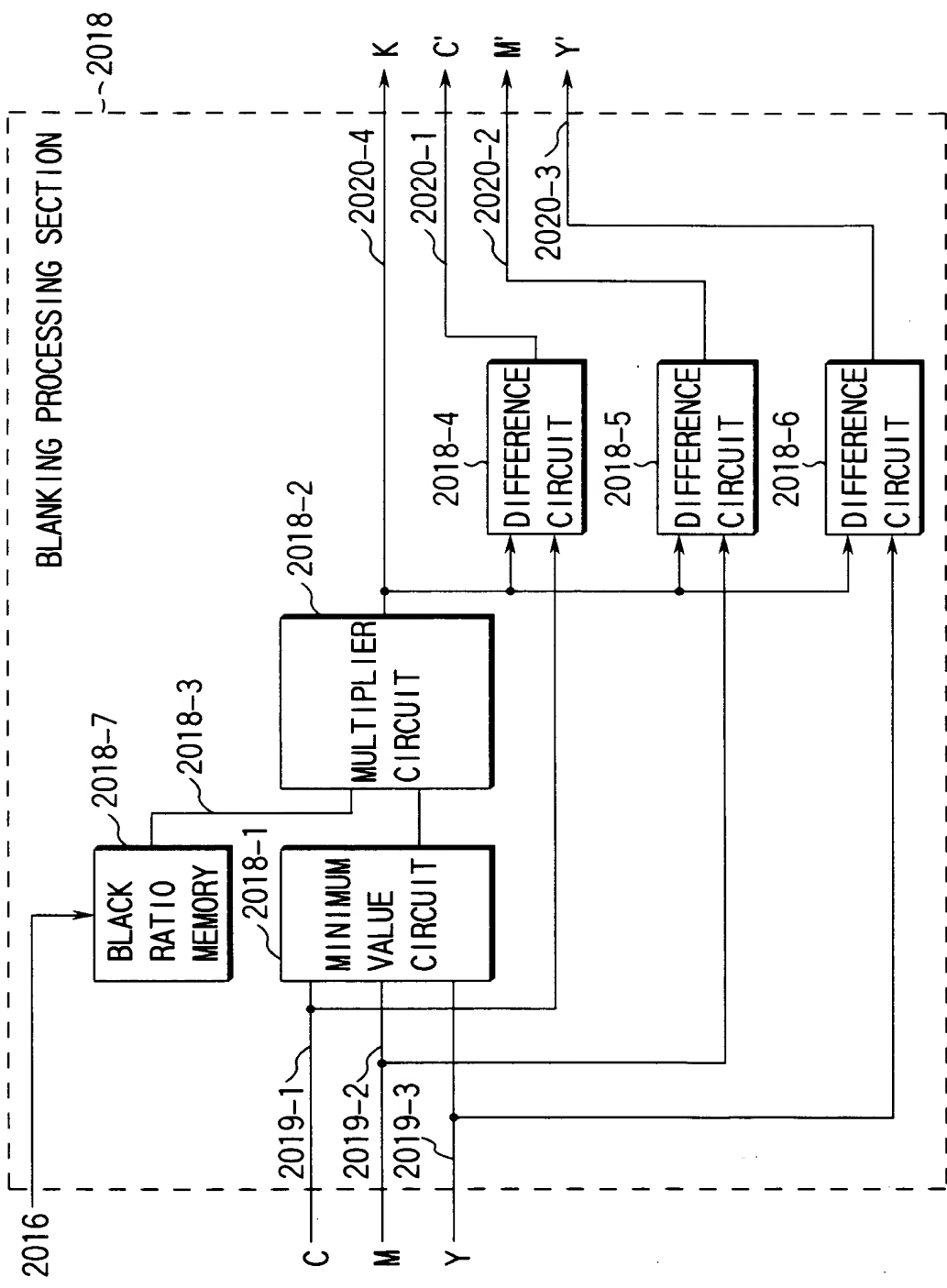
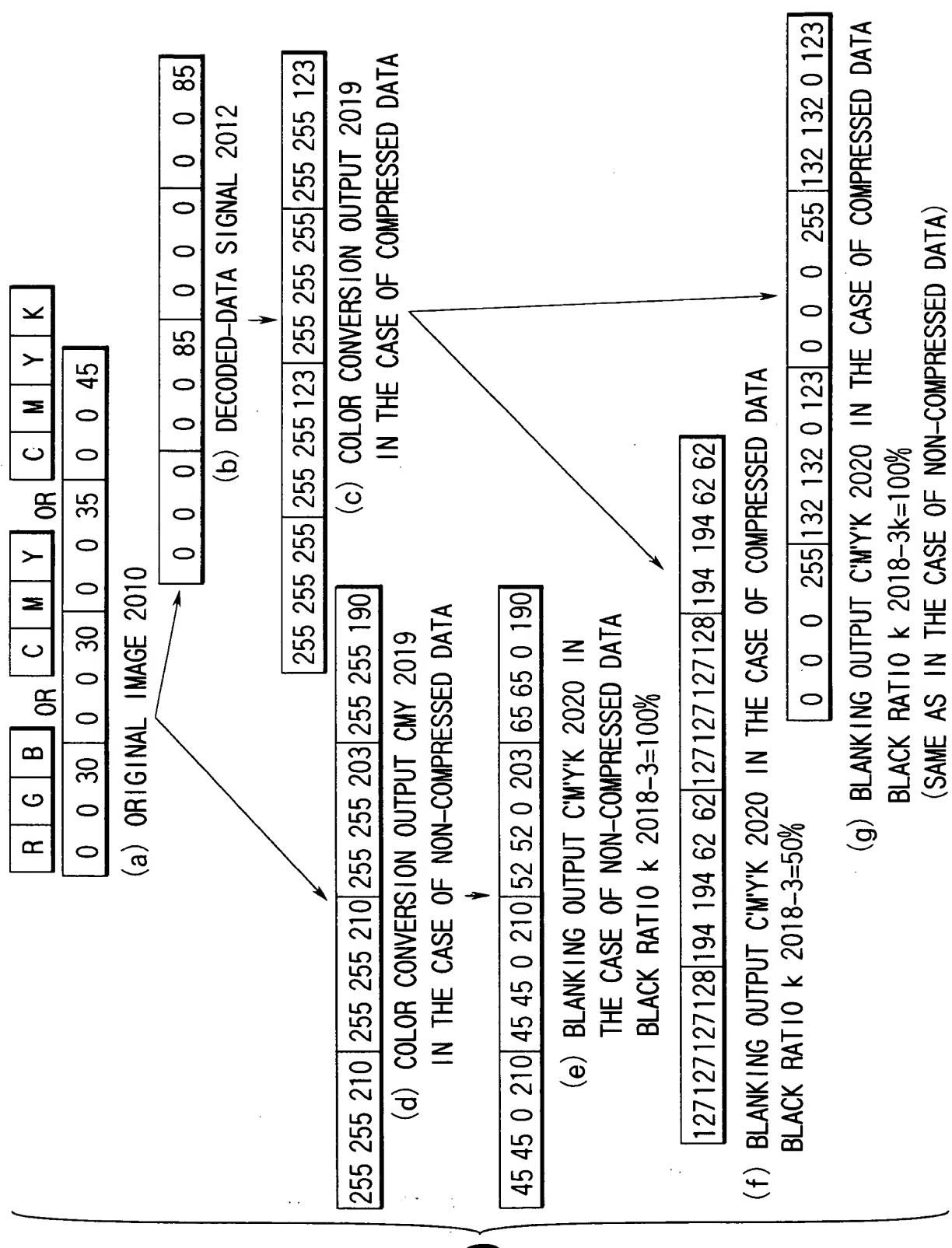


FIG. 18



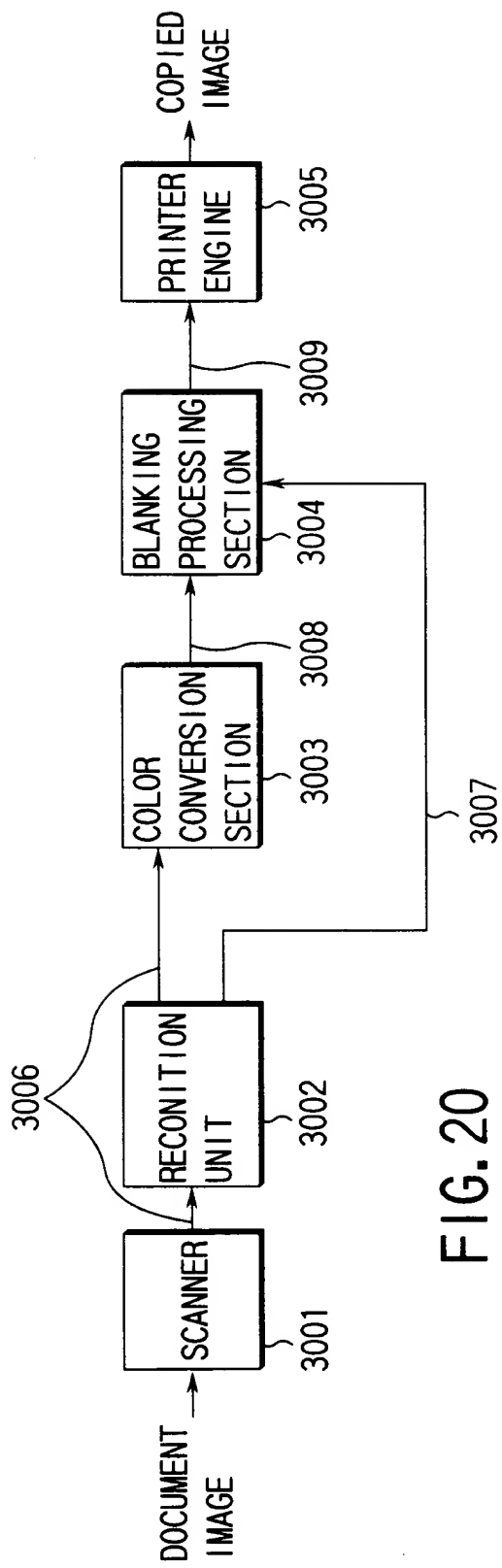
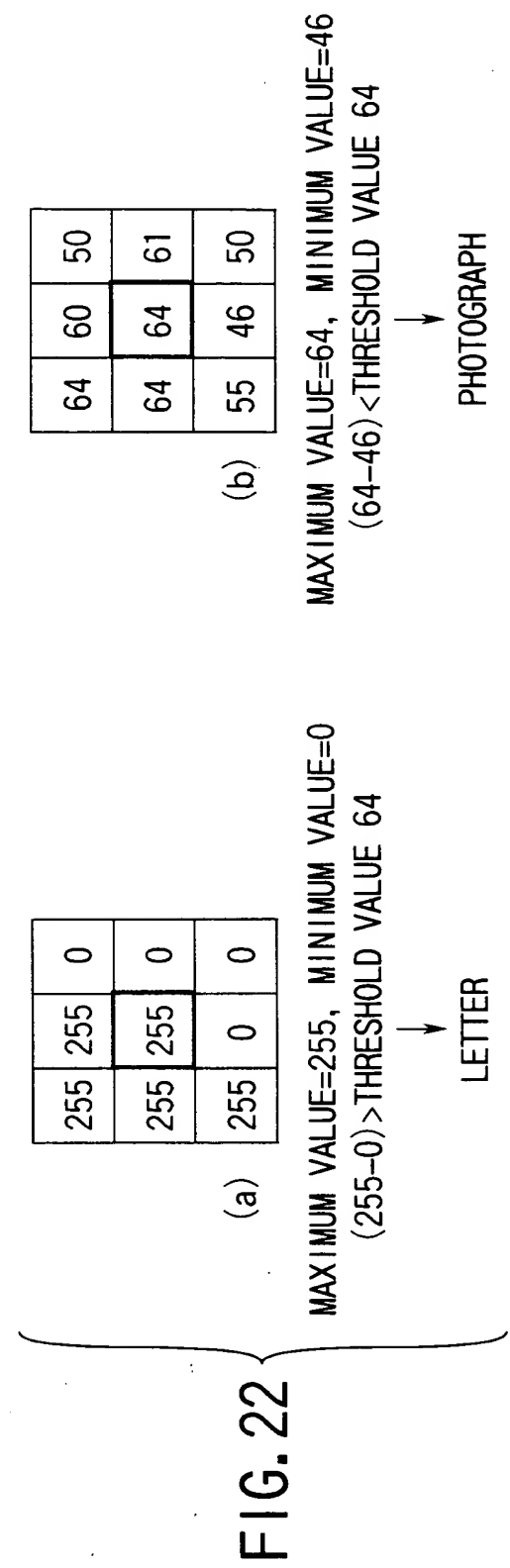


FIG. 20



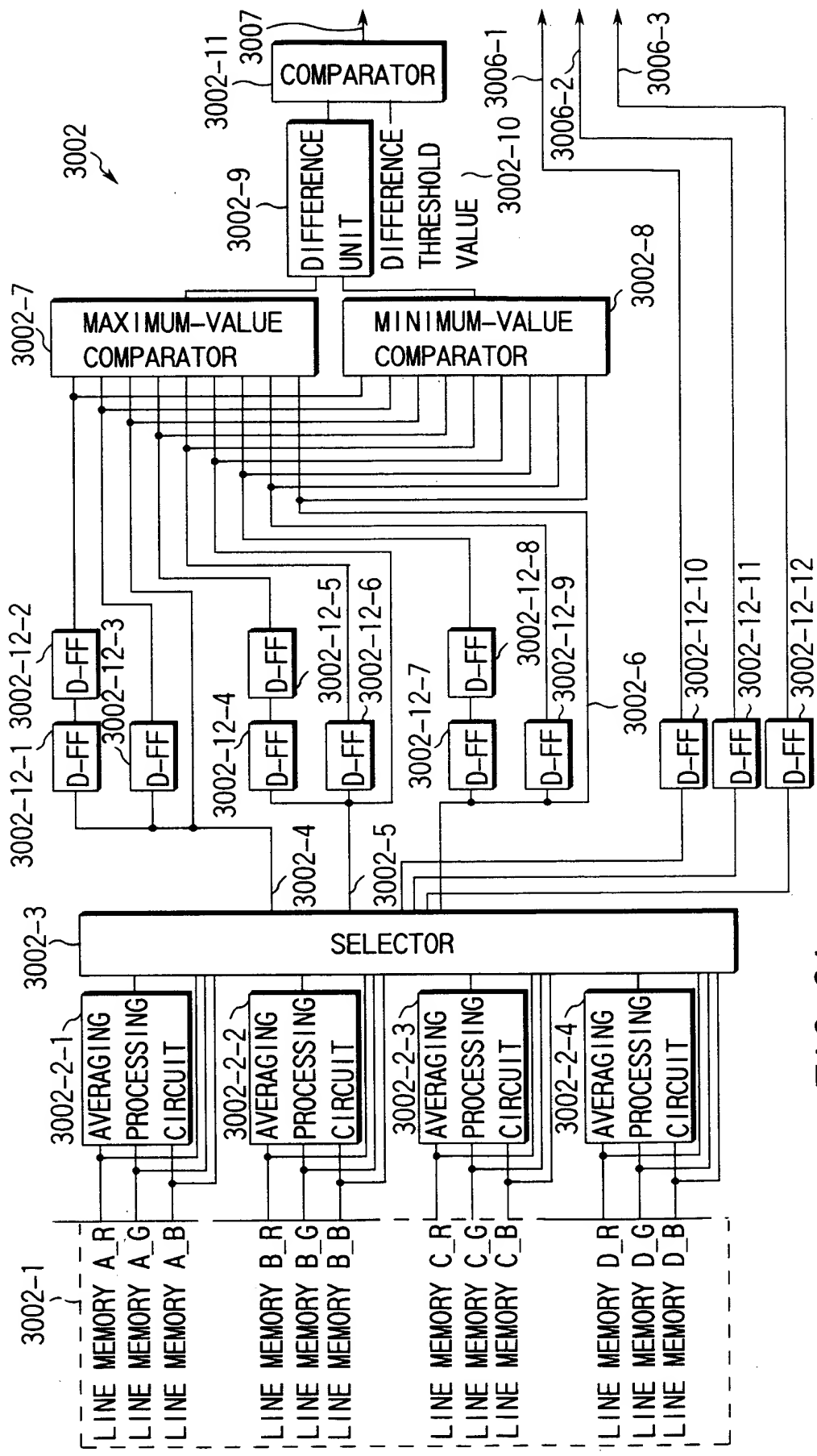


FIG. 21

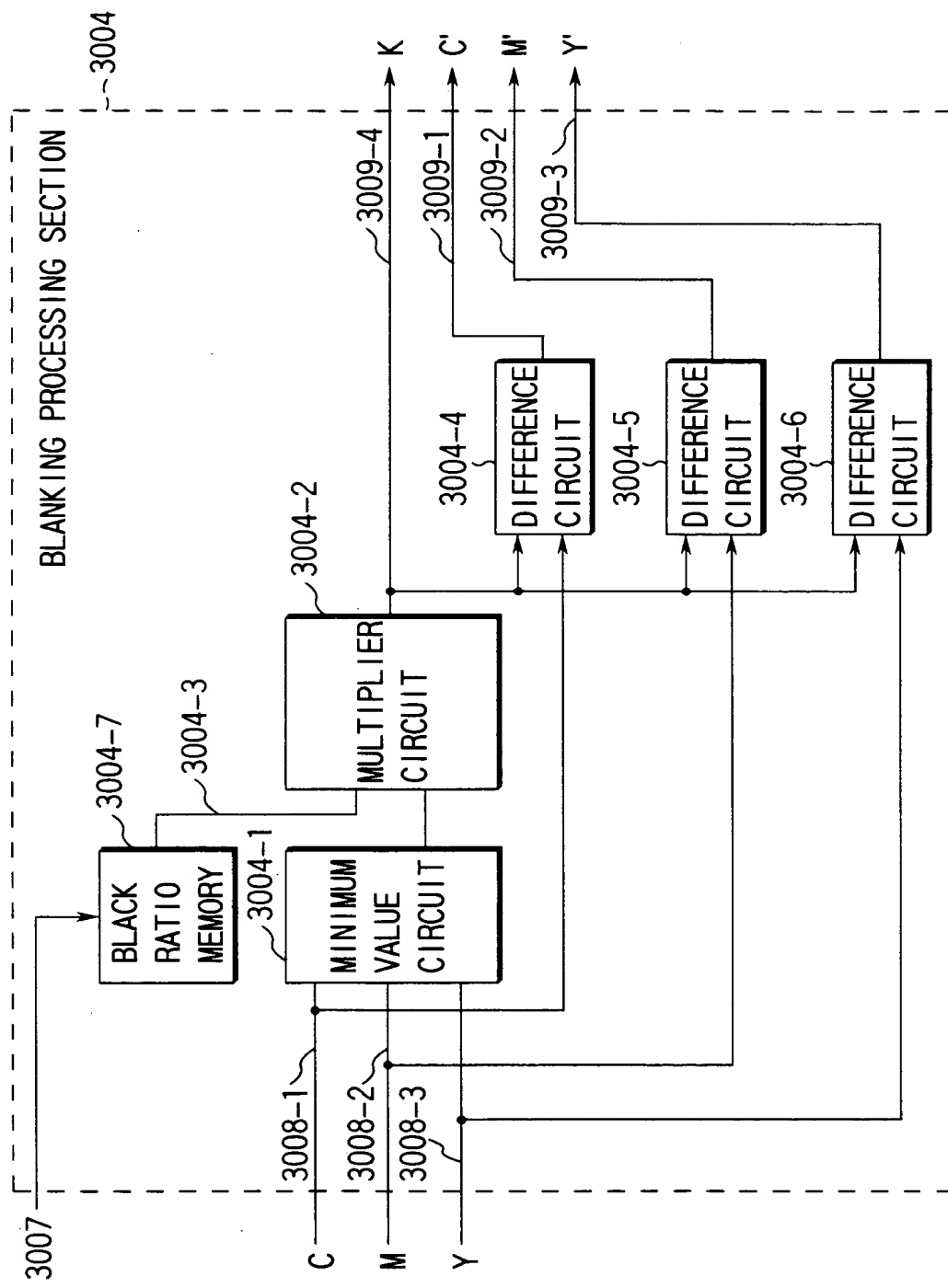


FIG. 23

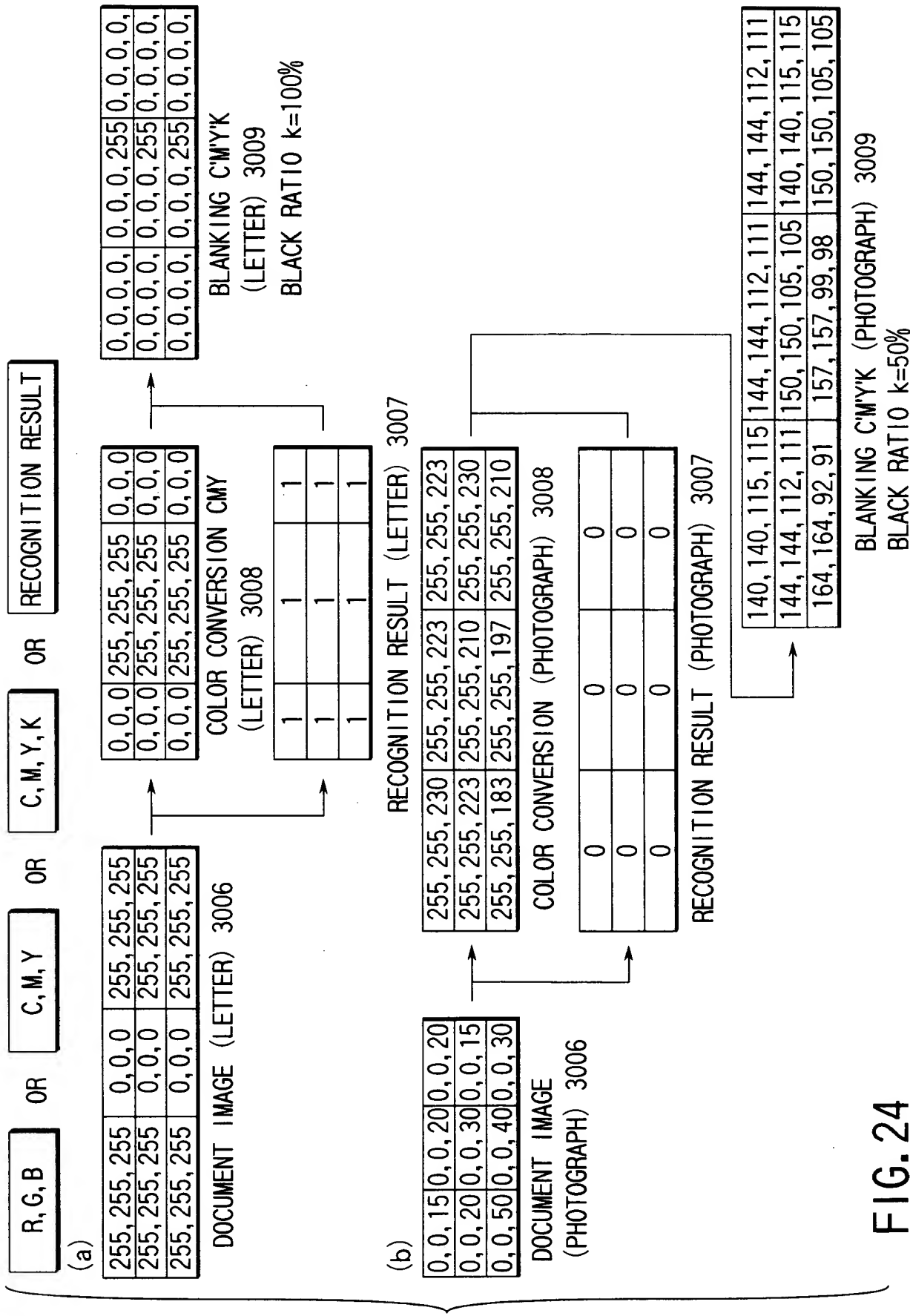


FIG. 24